

名古屋大洋 正員 成岡 昌夫
日立造船(株) 正員 ○長谷川 紀夫

1. 概説 弾性理論による骨組構造物の解析は、外力の作用前後における構造物の形狀は不变である、といふ仮定のもとに成り立つ。この仮定は、普通の構造物を対象とする場合、なんうかしつかえなうのであるが、外力の作用による変形の大きさFlexibleな長大骨組構造物に対しては変形を考慮した解析が必要とされる。斜張橋の場合、変形を考慮すると吊橋とは反対に、わざわざあるが危険側の値をとるといわれている。¹⁾本文では任意な型式の斜張橋に対して、変形を考慮した解析を行い、その影響を調べる。

2. 解析の概要

解析の方法は、運動方程式を応用した弹性理論による解析²⁾を拡張し、荷重載荷後の変形による節点角の変化を考慮して解析を行う。最終的には高次の非線形方程式を解くことになるのであるが、それらの根を直接求めることが不可能である。したがって、荷重載荷後の節点角を仮定し、逐次修正していく方法とする。

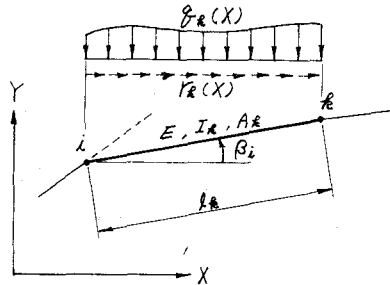
1.). Feldmatrix

図-1に示す橋格构も一毛の断面 i , j における変位, 断面力の関係は, 次のように表わされる。²⁾

$$\gamma_k(\ell_e/\ell_0) = F_k \cdot \gamma_k(0) \dots \quad \dots \quad (1)$$

2). 荷重マトリックス

Feldmatrix F_k のオクタ列目の荷重項は、次式により得られる。



1

表 - 1

	$\frac{P_R}{\rho_0}$	$B_R \cos B_R$
$U_{R0}(l^2/\rho_0)$	$E_0 I_0 \frac{\partial^3 P}{\partial E R^2 \partial l^3} \rho_0 \sin \beta_i$ $E R A R \frac{\partial^3 P}{\partial E R^2 \partial l^3} \rho_0$	$E_0 I_0 \frac{\partial^2 B_R}{\partial E R^2 \partial l^3} \rho_0 \sin \beta_i \cos \beta_i$ $2 E R A R \frac{\partial^2 B_R}{\partial E R^2 \partial l^3} \rho_0$
$W_{R0}(l^2/\rho_0)$	$E_0 I_0 \frac{\partial^3 P}{\partial E R^2 \partial l^3} \rho_0 \cos \beta_i$ $6 E R I_0 \frac{\partial^3 P}{\partial E R^2 \partial l^3} \rho_0$	$E_0 I_0 \frac{\partial^2 B_R}{\partial E R^2 \partial l^3} \rho_0 \cos \beta_i$ $24 E R I_0 \frac{\partial^2 B_R}{\partial E R^2 \partial l^3} \rho_0$
$P_{R0}(l^2/\rho_0)$	$E_0 I_0 \frac{\partial^3 P}{\partial E R^2 \partial l^3} \rho_0 \cos \beta_i$ $2 E R I_0 \frac{\partial^3 P}{\partial E R^2 \partial l^3} \rho_0$	$E_0 I_0 \frac{\partial^2 B_R}{\partial E R^2 \partial l^3} \rho_0 \cos^2 \beta_i$ $6 E R I_0 \frac{\partial^2 B_R}{\partial E R^2 \partial l^3} \rho_0$
$M_{R0}(l^2/\rho_0)$	$\frac{\partial P_R}{\partial l} \cdot \cos \beta_i$ $l_0 \rho_0$	$\frac{l^2 B_R}{2 l_0 \rho_0} \cos^2 \beta_i$
$A_{R0}(l^2/\rho_0)$	$\frac{P_R}{\rho_0} \cdot \cos \beta_i$	$\frac{l^2 B_R}{\rho_0} \cos^2 \beta_i$
$N_{R0}(l^2/\rho_0)$	$\frac{P_R}{\rho_0} \cdot \sin \beta_i$	$\frac{l^2 B_R}{\rho_0} \sin \beta_i \cos \beta_i$

ここで、図-1に示すように、部材は一般にX、Y座標のX軸に対し β_2 たる傾斜してりる場合、X軸に垂直、および、平行荷重は、部材は一般に垂直、おに示すものとなる。但し、分布荷重はX軸に沿う単位重に対するものである。

表-1の β_i は、荷重載荷後の変形を考慮した部材角であり、次のように得られる。

$$\cos \beta_i = \frac{(x_{ik} + \Delta x_{ik}) - (x_i + \Delta x_i)}{\sqrt{\{(x_{ik} + \Delta x_{ik}) - (x_i + \Delta x_i)\}^2 + \{(y_{ik} + \Delta y_{ik}) - (y_i + \Delta y_i)\}^2}} \quad (2)$$

$$\sin \beta_i = \frac{(y_{ik} + \Delta y_{ik}) - (y_i + \Delta y_i)}{\sqrt{\{(x_{ik} + \Delta x_{ik}) - (x_i + \Delta x_i)\}^2 + \{(y_{ik} + \Delta y_{ik}) - (y_i + \Delta y_i)\}^2}} \quad (3)$$

$\Delta x_i, \Delta y_i, \Delta x_k, \Delta y_k$: 格央し、すなわちX方向、およびY方向の変位

3). 座標変換

運動法では座標軸を部材軸方向に定めるので、隣接部材へ転移する場合、変位と力をベクトルと見なして、ベクトルの座標変換を行なわねばならぬ。

図-2に示す U_1-W_1 系より U_2-W_2 系への座標変換

マトリックスは次のようになる。

$$C_i = \begin{bmatrix} \cos \theta_i & \sin \theta_i & 0 & 0 & 0 & 0 \\ -\sin \theta_i & \cos \theta_i & 0 & 0 & 0 & 0 \\ 0 & 0 & 1 & 0 & 0 & 0 \\ 0 & 0 & 0 & 1 & 0 & 0 \\ 0 & 0 & 0 & 0 & \cos \theta_i & \sin \theta_i \\ 0 & 0 & 0 & 0 & -\sin \theta_i & \cos \theta_i \\ 0 & 0 & 0 & 0 & 0 & 1 \end{bmatrix}$$

$$\gamma_2 = C_i \cdot \gamma_1 \quad (4)$$

座標変換マトリックス C_i は、部材が格央しにありて時計方向に θ_i だけ回転したものである。一般に、部材

格央の位置は、図-3に示すような固定座標X, Yに対する座標として与えられる。この場合、 C_i における $\cos \theta_i, \sin \theta_i$ は、次のように得られる。

$$\cos \theta_i = \frac{1}{l_i \cdot l_{i+1}} \{ (\bar{x}_i - \bar{x}_{i-1})(\bar{x}_{i+1} - \bar{x}_i) + (\bar{y}_i - \bar{y}_{i-1})(\bar{y}_{i+1} - \bar{y}_i) \} \quad (5)$$

$$\sin \theta_i = \frac{1}{l_i \cdot l_{i+1}} \{ (\bar{y}_i - \bar{y}_{i-1})(\bar{x}_{i+1} - \bar{x}_i) - (\bar{x}_i - \bar{x}_{i-1})(\bar{y}_{i+1} - \bar{y}_i) \} \quad (6)$$

ここで、 $(\bar{x}_i, \bar{y}_i), \bar{l}_i$ は変形後の格央の座標、および、部材の長さである。

4). Punktmatrix

種々の析格央におけるPunktmatrix(は文献2)の場合と同様にして得られ、それらに座標変換マトリックス C_i を乗じる。但し、ケーブル取付格央においては、荷重載荷による部材角の変化と共に塔柱格央の移動等によりケーブル傾斜角も変化するので、次のようになる。(図-4参照)

ケーブル取付格央における左側と右側近傍の断面力の関係は、 $M_{k+1}(0) = M_k(l_k) - e_i \cdot T_i \cos \bar{\phi}_i$

$$Q_{k+1}(0) = Q_k(l_k) \cdot \cos \bar{\phi}_i + N_k(l_k) \cdot \sin \bar{\phi}_i - T_i \cdot \sin \bar{\phi}_i$$

$$N_{k+1}(0) = -Q_k(l_k) \cdot \sin \bar{\phi}_i + N_k(l_k) \cdot \cos \bar{\phi}_i - T_i \cdot \cos \bar{\phi}_i$$

となり、 e_i はケーブル*i*の左側取付偏心量であり、 $\bar{\phi}_i$ は変形後のケーブル*i*と部材*k*-*k*+1との左方角である。

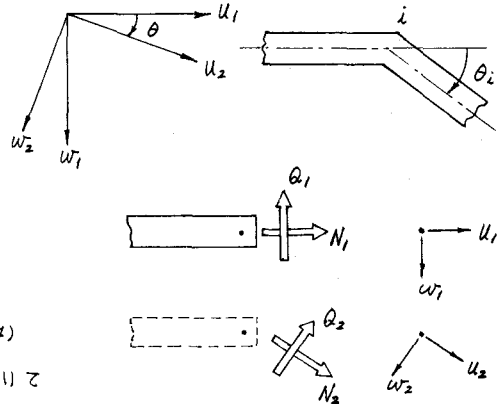


図-2

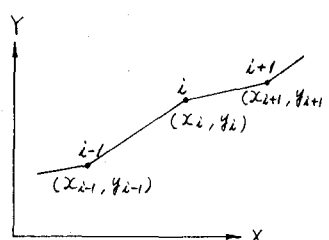


図-3

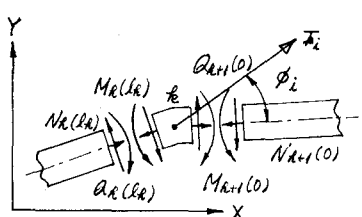


図-4

図-5はケーブル取付格架のPunktmatrixである。

5). 建立方程式

連立方程式の元数 n は、 $n = j + n_1 + n_2 + n_3 + n_4$ となる。 n_1 は全ケーブル本数、 n_2 は中間支承における水平方向 (X 軸)、垂直方向 (Y 軸)、および、回転拘束の総数、 n_3 は全塔柱のケーブル取付格点数、 n_4 は振り子の総数である。

$$\begin{bmatrix} \cos \bar{\theta}_i & \sin \bar{\theta}_i & 0 & 0 & 0 & 0 & 0 \\ -\sin \bar{\theta}_i & \cos \bar{\theta}_i & 0 & 0 & 0 & 0 & 0 \\ 0 & 0 & 1 & 0 & 0 & 0 & 0 \\ 0 & 0 & 0 & 1 & 0 & 0 & -r_i T_i \cos \bar{\theta}_i \\ 0 & 0 & 0 & 0 & \cos \bar{\theta}_i & \sin \bar{\theta}_i & -T_i \sin \bar{\theta}_i \\ 0 & 0 & 0 & 0 & -\sin \bar{\theta}_i & \cos \bar{\theta}_i & -T_i \cos \bar{\theta}_i \\ 0 & 0 & 0 & 0 & 0 & 0 & 1 \end{bmatrix}$$

- 5

レ², 文献²)と同様にして各本の連立方程式を得るのであるが, その際, 柱の軸力の変位, カベクトル ($P_1 \cdot F_1 \cdot P_{i-1} \cdot F_{i-1} \cdots F_2 \cdot r_i$) は X , Y 座標に変換せねばならぬ。ちなみ, 初期ベクトル, 中間支承条件, 右端拘束条件は, すべて X 軸, Y 軸方向の自由度をもって決まる。

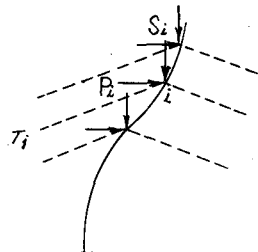
ケーブル、および、塔柱のつり合い方程式は文献2)と同様にして得られるが、塔柱に作用するX軸、Y軸方向の力 P_i 、 S_i は、次のようになる。(図-6参照)

$$S_i = \sum (T_j \cdot \sin \bar{\lambda}_j) \quad \dots \dots \dots \quad (8)$$

T_i : 構造にかかるケーブルの張力

$\bar{\alpha}_j$: ケーブル j の変形後の傾斜角

また、ケーブルの取り付けが図-7(a),(b),(c)のいかなる構造でも式(7),(8)は成り立ち、 P_i により荷重のつり合ひを考える。



6

図-7(b)の構造の場合、つぎのつり合方程式を得る。

$$\begin{aligned} \sum T_j \cdot \cos(\bar{\alpha}_j + \gamma_j) \cdot r_j \\ = \sum T_j (\cos \bar{\alpha}_j \cdot \cos \gamma_j - \sin \bar{\alpha}_j \cdot \sin \gamma_j) \cdot r_j = 0 \end{aligned}$$

七、蘇二琳の回憶

r_i : ケーブル i の取り付け点までの腕の長さ

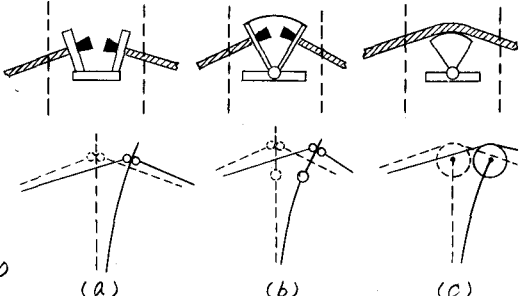
3. 数值計算

2. り)で得られた元々連立方程式の根を直接求ることは不可能であるので、次のような方法で荷重載荷後の変形を逐次復元し、非線形問題を処理することにする。

i) 桁格架の変位 u_i , w_i , 働き格架の変位 s_i , γ_i を 0 とおき連立方程式を解き, u_i , w_i , s_i , γ_i を求める。

ii) i)で得た u_1 , w_1 , s_1 , γ_1 を前部枝角、および、ケーブル傾斜角に考慮して連立方程式を立て直し、再びそれを解き u_1 , w_1 , s_1 , γ_1 を求める。

iii) 桁部弦角、および、ケーブル傾斜角を再び修正し、ii)の操作をくりかえす。



7

上の反復の収束の判定として、次の式を定め、その時の解を正値とする。

$$\max_i \left| \frac{u_i^{(n)} - u_i^{(n-1)}}{u_i^{(n)}} \right| < \epsilon \quad \dots \quad (10) \qquad \max_i \left| \frac{w_i^{(n)} - w_i^{(n-1)}}{w_i^{(n)}} \right| < \epsilon \quad \dots \quad (11)$$

$$\max_i \left| \frac{w_i^{(n)} - w_i^{(n-1)}}{w_i^{(n)}} \right| < \epsilon \quad \dots \dots \dots \quad (11)$$

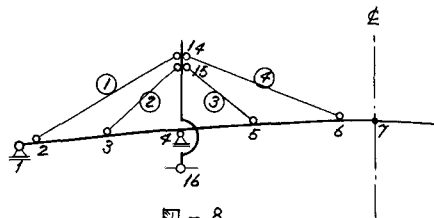
(10), (11) の n は反復の回数であり、 ϵ は精度である。

上記 ii), iii) の反復の過程において、吊橋のように弹性理論値との差が大きき場合、式 (10), (11) が成り立たず、収束しないと云われている。³⁾ そこで、次の反復に移る際、前回の反復で得た変位量にダンピングをつけて、収散を防ぐことが行われる。斜張橋の場合はその心配なしと思われるが、一応次のようないくつかの方法を示す。

$$\left. \begin{aligned} u_i &= u_i^{(n-1)} + \mu (u_i^{(n)} - u_i^{(n-1)}) \\ w_i &= w_i^{(n-1)} + \mu (w_i^{(n)} - w_i^{(n-1)}) \end{aligned} \right\} \quad \text{--- (12)}$$

4. 計算例

図-8に不す尾道木橋に死荷重、活荷重を載荷し、中央スピノン中央、および、中間支点上の最大曲げモーメント M_y , M_q , たわみ w_y , ケーブル張力 T を求めた。表-2は各橋脚の座標であり、表-3は無断勾配を考慮した弾性理論による値(a)、無断勾配を考慮した弾性理論による値(b)、無断勾配と変形を考慮した値(c)である。ダンベルで収束している。



四 - 8

表-3よりわかるように、変形を考慮した場合、この例題ではあまり顕著な影響は見られない。しかし、もっと大きな斜張橋に対してもそうであるとは限らない。紙面の都合で一部しか掲載できなかったが、種々の計算例について別途発表したいと思う。

表 - 2

	X_i	Y_i
1	0.000	0.000
2	3.798	0.123
3	43.500	1.257
4	85.000	2.157
5	126.500	2.766
6	168.000	3.083
7	192.000	3.134
14	85.000	37.957
15	85.000	86.357
16	85.000	-0.978

表 - 3

	(a)	(b)	(c)	$\frac{(b)-(a)}{(a)} \times 100$	$\frac{(c)-(b)}{(b)} \times 100$
M_7	2295.156 ^m	2352.850	2412.788	2.51%	2.55%
M_4	-1883.557 ^m	-1971.746	-1986.769	4.68	0.76
W_3	1.182 ^m	1.258	1.292	6.43	2.70
T_1	530.561 ^t	531.892	528.699	0.25	-0.60

参考文献

- 1). "THE EVOLUTION OF GERMAN CABLE-STAYED BRIDGES : AN OVERALL SURVEY (Dr. Ing. Adolf Feige : ACIER STAHL STEEL №12, 1966), PP 523 ~ 532.
 - 2). 成岡・長谷川：運行法による斜張橋の解析，土木学会誌，53-5(昭和43.5)，PP 59 ~ 65.
 - 3). 藤野・木坂：任意形状のツリ橋の静的構造解析法，三菱重工技報，3.6(昭和41.12), PP 557 ~ 563.